

ФИЛЬТРАЦИЯ ИЗМЕРИТЕЛЬНЫХ СИГНАЛОВ, ПРЕДСТАВИМЫХ В БАЗИСЕ ФУНКЦИЙ УОЛША

В работе рассматривается метод фильтрации измерительных сигналов, основанный на использовании в качестве ортогонализирующего базиса функций Уолша. Получены соотношения, обеспечивающие реализацию фильтрующего свойства ортонормированного базиса путем воспроизведения равнампли-тудного полинома Уолша. Показана возможность практической реализации фильтрующего устройства, основанная на особенностях равнампли-тудных полиномов Уолша. Получено выражение для частотного коэффициента передачи фильтра нижних частот рассматриваемого класса.

Решение задач фильтрации измерительных сигналов предполагает не только изменение соотношения между частотными компонентами, но и выделение из подлежащего фильтрации сигнала отдельных групп частотных компонентов в области нижних частот (фильтрация НЧ), в области высших частот (фильтрация ВЧ) или в определенной полосе частот (полосовая фильтрация).

Поэтому актуальным является установление соотношений, характеризующих процесс формирования группового эффекта в соответствующем диапазоне частот (НЧ, ВЧ и полосе частот) путем выделения отдельных частотных компонентов измерительного сигнала.

Пусть Н-гилбертово пространство сигналов с конечным значением энергии, определенных на отрезке времени $[t_1, t_2]$. При представлении произвольного сигнала $S(t) \in H$ в виде обобщенного ряда Фурье

$$S(t) = \sum_{m=0}^{\infty} C_m u_m(t), \quad (1)$$

в выбранном базисе групповые свойства не проявляются, т.к. в состав ряда (1) входят все члены $C_m u_m(t)$, где

$$C_m = \int_{t_1}^{t_2} S(t) u_m(t) dt = (S, u_m), \quad (2)$$

т.е. m пробегает все значения от $m=0$ до $m=\infty$.

Названные группы частотных компонентов (НЧ, ВЧ и ПЧ) согласно принципу суперпозиции могут представлять сигнал

$$S(t) = S_{\text{НЧ}}(t) + S_{\text{ПЧ}}(t) + S_{\text{ВЧ}}(t). \quad (3)$$

При этом образующие сигнал $S(t)$ функции $S_{\text{НЧ}}(t), S_{\text{ПЧ}}(t), S_{\text{ВЧ}}(t)$ могут быть представлены соответствующими частичными суммами обобщенного ряда Фурье (1), т.е.

$$S(t) = \sum_{m=0}^{\infty} C_m u_m(t) = \sum_{m=0}^{N_1} C_m u_m(t) + \\ + \sum_{m=N_1+1}^{N_2} C_m u_m(t) + \sum_{m=N_2+1}^{N_3} C_m u_m(t). \quad (4)$$

Частичные суммы, входящие в состав сигнала $S(t)$, отражают определенные групповые свойства частотных компонентов, их составляющих, т.к. в каждой из функций времени $S_{\text{НЧ}}(t), S_{\text{ПЧ}}(t), S_{\text{ВЧ}}(t)$ отсутствуют частотные компоненты, образующие две другие.

В дальнейшем полагаем, что синтез частичной суммы $S_{\text{НЧ}}(t)$ осуществляется устройством, структурная схема которого приведена на рис. 1.

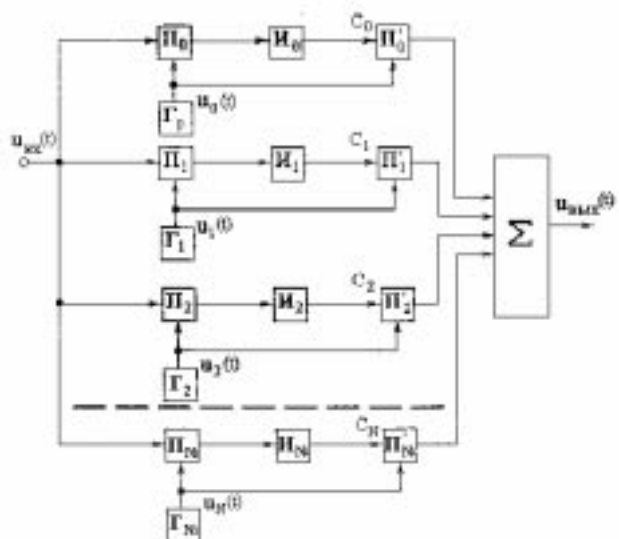


Рисунок 1.

Здесь: $\Gamma_0 \div \Gamma_{N_1}$ – генераторы базисных функций $u_0(t) \div u_{N_1}(t)$
 $\Pi_0 \div \Pi_{N_1}$ – перемножители соответствующих базисных функций $u_0(t) \div u_{N_1}(t)$ и входного сигнала $S(t)$, с выходов которых сигналы поступают на интеграторы $I_0 \div I_{N_1}$, выходные напряжения которых, пропорциональные коэффициентам $C_0 \div C_{N_1}$ обобщенного ряда Фурье, одновременно воздействуют на входы перемножителей $P'_0 \div P'_{N_1}$, на вторые входы которых подаются соответствующие базисные функции $u_0(t) \div u_{N_1}(t)$. Суммирование выходных напряжений перемножителей $P'_0 \div P'_{N_1}$ сумматором Σ обеспечивает выходной эффект $S_{\text{НЧ}}(t)$.

Выходной эффект рассматриваемого ФНЧ

$$u_{\text{вых}}(t) = S_{\text{нч}}(t) = \sum_{m=0}^M C_m u_m(t) \quad (5)$$

при использовании для определения $S(t)$ и C_m выражений (1) и (2) может быть преобразован следующим образом:

$$\begin{aligned} S_{\text{нч}}(i') &= \sum_{m=0}^M u_m(i') \int_{\xi_1}^{\xi_2} S(\theta) u_m(\theta) d\theta = \\ &= \int_{\xi_1}^{\xi_2} S(\theta) \left[\sum_{m=0}^M u_m(\theta) u_m(\theta) \right] d\theta. \end{aligned} \quad (6)$$

Для более четкого проявления групповых свойств частичной суммы $S_{\text{нч}}(\theta')$ определим ее как сумму обобщенного ряда Фурье по функциям Уолша:

$$\begin{aligned} S(\theta) &= a(0) + \sum_{i=1}^{\infty} [a_c(i) \text{cal}(i, \theta) + a_s(i) \text{sal}(i, \theta)] = \\ &= a(0) + \sum_{i=1}^{\infty} [a_c(i) \text{Wal}(2i, \theta) + a_s(i) \text{Wal}(2i-1, \theta)] \end{aligned} \quad (7)$$

Так как при формировании опорного сигнала

$$\begin{aligned} u_{\text{оп}} &= \sum_{m=0}^M u_m(\theta) u_m(\theta') = \sum_{m=1}^M [a_c(m) \text{Wal}(2m, \theta) + \\ &\quad + a_s(m) \text{Wal}(2m-1, \theta)] \times \\ &\quad [a'_c(m) \text{Wal}(2m, \theta') + a'_s(m) \text{Wal}(2m-1, \theta')] \end{aligned} \quad (8)$$

должна производиться задержка суммируемых ортогональных элементов Уолша на одну и ту же величину нормированного времени

$$\Delta\theta = \frac{\Delta t}{T} = \frac{t - t'}{T},$$

то форма суммы внутри интервала $-1/2 < \theta < 1/2$ остается неизменной, претерпевая лишь указанную задержку.

Однако для преобразования суммы ряда (7) в выходной сигнал ФНЧ (5) необходимо, чтобы

$$\begin{aligned} u_m(\theta) u_m(\theta') &= \text{Wal}(m, \theta) \text{Wal}(m, \theta') = \\ &= \text{Wal}(m, \theta \oplus \theta'), \end{aligned} \quad (9)$$

т.е. опорный сигнал

$$u_{\text{оп}} = \sum_{m=0}^M \text{Wal}(m, \theta \oplus \theta) \quad (10)$$

должен быть равноамплитудным полиномом, возможность технической реализации которого предопределяет сокращение числа преобразований при представлении частичной суммы $S_{\text{нч}}(\theta')$ в интегральной форме

$$\begin{aligned} S_{\text{нч}}(\theta') &= \int_{\xi_1}^{\xi_2} S(\theta) \sum_{m=0}^M \text{Wal}(m, \theta \oplus \theta') = \\ &= a(0) + \sum_{i=1}^M [a_c(i) \text{Wal}(2i, \theta \oplus \theta') + \\ &\quad + a_s(i) \text{Wal}(2i-1, \theta \oplus \theta')] = \\ &= a(0) + \sum_{i=1}^M [a_c(i) \text{Wal}(2i, \theta') + a_s(i) \text{Wal}(2i-1, \theta')] \end{aligned} \quad (11)$$

Формирование $u_{\text{оп}}$ путем суммирования $2M$ функций Уолша при изменении θ' в пределах от $-1/2$ до $1/2$ требует синхронизации $2M$ генераторов функций $\text{cal}(i, \theta')$ и $\text{sal}(i, \theta')$ с поддержанием равенства их амплитуд, что является сложной технической задачей и требует значительного объема оборудования.

Генераторы периодических функций Уолша, основанные на теореме умножения функций $\text{Wal}(i, \theta')$ [1], требуют для реализации значительного объема оборудования. Асимметрия суммарной функции

$$u_{\text{оп}} = \sum_{m=1}^M \text{Wal}(m, \theta)$$

относительно начала координат также усложняет программную реализацию периодических

$$u_{\text{оп}} = \sum_{m=1}^M \text{Wal}(m, \theta \oplus \theta').$$

Независимость формы $u_{\text{оп}}$ от изменений $\theta \oplus \theta'$ (имеется лишь запаздывание $u_{\text{оп}}$ относительно начала координат) создает предпосылку для его программируемого воспроизведения путем изменения коэффициента передачи масштабного усилителя переключением резисторов в моменты прохождения нулевых мгновенных значений функциями Уолша порядка $M = 2^k$ (где k – целое число), т.к. в этом случае функция Уолша представляет собой последовательность прямоугольных импульсов типа «меандр», легко воспроизводимую генератором стабильной частоты

$$f_M = Mf_0 = \frac{M}{T_0},$$

где $T_0 = \frac{1}{f_0}$ – период аппроксимируемого (подлежащего фильтрации) процесса.

С учетом неизменности формы

$$\sum_{m=1}^M Wal(m, \theta \oplus \theta')$$

при изменении θ' представление $u_{\text{оп}}$ в виде сумм четных и нечетных функций Уолша

$$u_{\text{оп}} = \sum_{m=1}^M [Wal(2n, \theta \oplus \theta') + Wal(2n-1, \theta \oplus \theta')]$$

открывает возможности для существенного сокращения требуемого оборудования, т.к. обе суммы характеризуются симметрией, свойственной четным и нечетным функциям, что позволяет перейти к воспроизведению только полупериодных отрезков названных сумм.

Другим обстоятельством, обеспечивающим сокращение объема оборудования, является возможность представления четных и нечетных полупериодов суммарных функций в виде суперпозиций последовательностей импульсов единичной амплитуды и длительностью

$$\tau = \frac{T}{2M},$$

вырабатываемых генератором, т.к. при суммировании функций $sal(M,0)$ и $cal(M,0)$ при $M = 2^k$ (к целое число) происходит уменьшение вдвое длительности суммарного эффекта.

В этом случае результат суммирования может быть представлен суперпозицией последовательностей $2M$ функций Уолша, гармонический спектр которой является суперпозицией спектров периодически повторяемых последовательностей прямоугольных импульсов, длительность которых равна

$$\tau = \frac{T}{4M},$$

а амплитуда определяется результатом суммирования амплитуд импульсов, соответствующих каждой из суммируемых функций Уолша внутри каждого интервала суммирования

$$\Delta t = \tau = \frac{T}{4M}.$$

Возможность использования в качестве структурных элементов последовательностей прямоугольных импульсов с одинаковыми временными

параметрами и отличающихся лишь характером симметрии и амплитудами импульсов открывает путь суперпозиционному методу получения в замкнутом виде выражения для суммы равноамплитудного полинома, членами которого являются функции Уолша кратных частот. При этом существенно то, что количество гармоник, участвующих в образовании суммарного опорного сигнала, остается неизменным и равным

$$P = 3 \cdot \frac{T}{\tau} = 3 \cdot \frac{T}{\frac{T}{4M}} = 4M$$

(при ориентации на гармоники, сосредоточенные в пределах первых трех лепестков огибающей амплитудного гармонического спектра последовательности формообразующих прямоугольных импульсов). Это означает, что аппроксимация конечной суммы функций Уолша равных амплитуд при изменении M внутри значений, представимых соседними целыми степенями двойки, производится с одинаковой точностью.

Для примера на рис. 2.а приведена зависимость

$$\sum_{m=1}^{m=0} [cal(m, \theta) + sal(m, \theta)],$$

а на рис 2.6 и в соответственно нечетная и четная составляющие этой суммы.

Очевидно, что для представления этих составляющих требуются последовательности прямоугольных импульсов с одинаковыми временными параметрами, для воспроизведения которых требуется всего один генератор. При выборе в качестве формообразующего элемента последовательности прямоугольных импульсов с параметрами $E=2B$,

$$\tau = \frac{T}{4M} = \frac{T}{32}$$

для суперпозиционного спектра суммарного процесса

$$\sum_{m=1}^{m=0} [cal(m, \theta) + sal(m, \theta)]$$

имеем:

$$\begin{aligned} A_{n\Sigma} = A_{n0} & (8 + 7e^{-jn\omega\tau} - (e^{jn\omega 2\tau} + e^{-jn\omega 2\tau}) - \\ & - (e^{jn\omega 6\tau} + e^{-jn\omega 6\tau}) - (e^{jn\omega 10\tau} + e^{-jn\omega 10\tau}) - \\ & - (e^{jn\omega 14\tau} + e^{-jn\omega 14\tau}) - \\ & - (e^{jn\omega 3\tau} + e^{jn\omega 7\tau} + e^{jn\omega 11\tau} + e^{jn\omega 15\tau}) - \\ & - (e^{-jn\omega 5\tau} + e^{-jn\omega 9\tau} + e^{-jn\omega 13\tau}). \end{aligned} \quad (12)$$

Выражение для равноамплитудного полинома определяется рядом Фурье с ограниченным числом членов

$$u_{\text{оп}} = \sum_{n=-p}^p A_n \sum e^{jn\omega_1 t}, \quad (13)$$

который позволяет сопоставлять по достижимой точности аппроксимации требуемую частоту M функций Уолша с достаточной высшей граничной частотой

$$pf_1 = \frac{p\omega_1}{2\pi}$$

гармонических функций.

Из (11) следует важнейшее проявление группового свойства опорного сигнала (13), – способность выводить за знак интеграла (6) счетное и управляемое число частотных компонентов входного воздействия.

Воспроизведение функций $S_{\text{НЧ}}(\theta')$ может быть обеспечено устройством, структурная схема которого приведена на рис. 3.

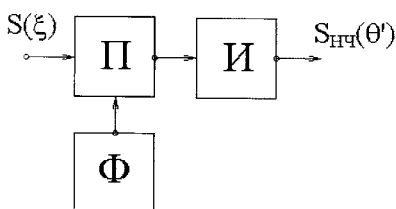


Рисунок 3.

Здесь:

Π – перемножитель;
 Φ – формирователь $\sum_{m=1}^M \text{Wal}(m, \theta)$;
 I – интегратор.

Формирование $\sum_{m=1}^M \text{Wal}(m, \theta)$ изменением M в широких пределах обеспечивает фильтрацию сигнала $S(\xi)$.

Действительно, формирование $u_{\text{оп}M_{\max}}(\theta)$ ограниченным количеством членов $M_1 = M_{\max}$ равноамплитудного полинома обеспечивает получение $S_{\text{НЧ}}(\theta) = S_{M_{\max}}(\theta)$ обращением в ноль членов бесконечного ряда Фурье по функциям Уолша (7) с номерами «i», превышающими $M_1 = M_{\max}$, т.е. подавление высокочастотной части спектра $S(\theta)$ или его низкочастотную фильтрацию.

Существенно при этом, что в полосе пропускания такого фильтра нижних частот (ФНЧ) соот-

ношение между соответствующими частотными компонентами сохраняется с той степенью точности, с какой удается формировать $u_{\text{оп}M_{\max}}(\theta)$ и интегрировать результат его перемножения с фильтруемым сигналом $S(\theta)$.

Формирование $S_{M_{\min}}(\theta')$ при $M_1 = M_{\min}$ обеспечивает получение

$$S_{\text{ВЧ}}(\theta') = S(\theta) - S_{M_{\min}}(\theta') \quad (14)$$

с подавленной низкочастотной частью спектра $S(\theta)$.

Для обеспечения эффекта полосовой фильтрации необходимо получить

$$S_{\Pi\Phi}(\theta') = S_{\text{ВЧ}}(\theta') - [S(\theta) - S_{M_{\min}}(\theta')] \quad (15)$$

т.е. сформировать базисную функцию

$$u_{\text{оп}\Pi\Phi}(\theta) = u_{\text{оп}M_{\max}}(\theta) - u_{\text{оп}M_{\min}}(\theta) =$$

$$\sum_{m=1}^{M_{\max}} \text{Wal}(m, \theta \oplus \theta') - \sum_{m=1}^{M_{\min}} \text{Wal}(m, \theta \oplus \theta') =$$

$$= \sum_{m=M_{\min}+1}^{M_{\max}} \text{Wal}(m, \theta \oplus \theta'), \quad (16)$$

которая в рассматриваемом случае наделяет $S_{\Pi\Phi}(\theta)$ свойствами кодово-импульсной последовательности импульсов с динамическим диапазоном их амплитуд, определяемым количеством членов суммы.

Из (16) следует, в частности, что при

$$M_{\max} = M_{\min} + 1$$

$$u_{\text{оп}\Pi\Phi}(\theta) = \text{Wal}(m, \theta \oplus \theta'),$$

а потому в предельном случае полосовой фильтрации выходной сигнал представляет собой периодически повторяемую функцию Уолша соответствующего порядка.

Оценку возможностей рассматриваемого метода фильтрации целесообразно провести в частотной области, где наиболее эффективно формулируются требования к качественным показателям фильтров. Для этого определим выражение для частотного коэффициента передачи рассматриваемого ФНЧ. Применение прямого преобразования Фурье к (11) имеет следствием:

$$U_{\text{вых}M_1}(jnw_1) = \int_{-1/2}^{1/2} S_{\text{НЧ}}(\theta') e^{-jn2\pi\theta'} = \\ = \int_{-1/2}^{1/2} e^{-jn2\pi\theta'} \left[\int_{-1/2}^{1/2} S_{\text{НЧ}Bx}(\xi) \sum_{m=0}^{M_1} \text{Wal}(m, \theta \oplus \theta') d\xi \right] d\theta' =$$

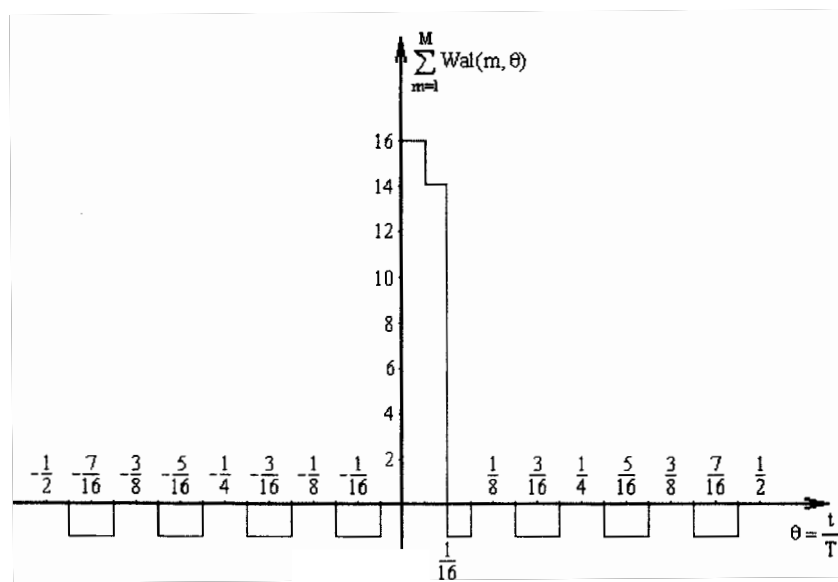


Рисунок 2. а

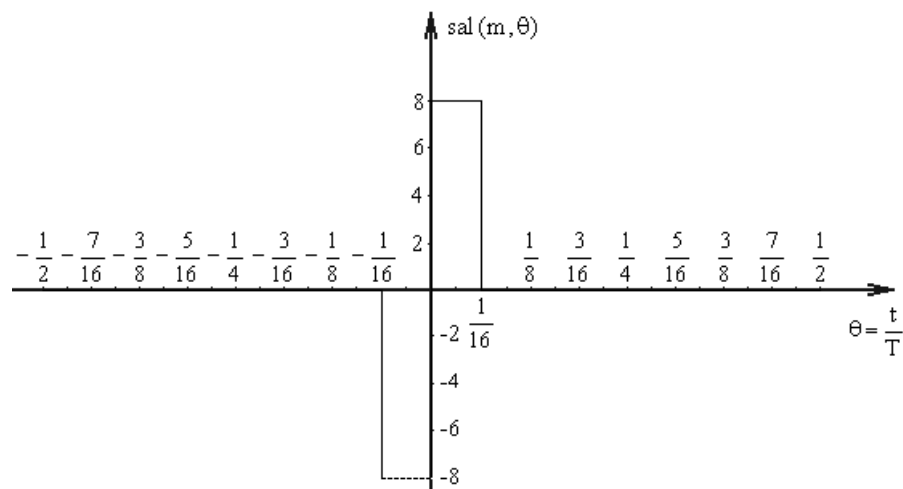


Рисунок 2. б

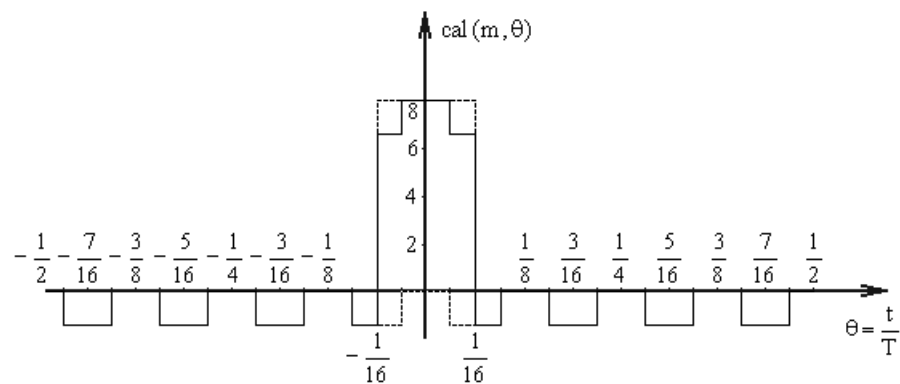


Рисунок 2. в

$$= \int_{-1/2}^{1/2} e^{-jn2\pi\theta'} \sum_{m=0}^{M_1} Wal(m, \theta') d\theta' \left[\int_{-1/2}^{1/2} S_{H\chi_{BX}}(\xi) e^{-jn2\pi\xi} d\xi \right] = \\ = K(jnw_1) \cdot S_{H\chi_{BX}}(jnw_1),$$

где $K(jnw_1) = \sum_{m=1}^M \int_{-1/2}^{1/2} Wal(m, \theta') e^{-jn2\pi\theta'} d\theta'$ =

$= A_{n_0}(jnw_1) \cdot \Phi_m(jnw_1)$ – частотный коэффициент передачи рассматриваемого ФНЧ, а A_{n_0} – спектр последовательности формообразующих прямоугольных импульсов и $\Phi_m(jnw_1)$ – спектр временного множителя,

описывающего функцию $\sum_{m=0}^{M_1} Wal(m, \theta')$;

$$S_{H\chi_{BX}}(jnw_1) = \int_{-1/2}^{1/2} S_{H\chi_{BX}}(\xi) e^{-jn2\pi\xi} d\xi$$
 – спектр

входного воздействия.

Из (17) следует, что управлять параметрами частотной характеристики ФНЧ можно изменением числа членов полинома

$$u_{op} = \sum_{m=1}^M Wal(m, \theta),$$

либо изменением его структуры.

Таким образом использование в качестве ортогонализирующего базиса равнамплидудных полиномов Уолша открывает возможности как для сокращения объема оборудования, требуемого для реализации соответствующих фильтров, так и для управления параметрами их частотных характеристик.

Список использованной литературы:

- Хармут Х.Ф. Передача информации ортогональными функциями. Пер. с англ. Дядюнова Н.Г. и Сенина А.И. М., «Связь», 1975.